

**ВЛИЯНИЕ ЭНТРОПИЙНОГО СЛОЯ
НА РАСПРОСТРАНЕНИЕ НЕСТАЦИОНАРНЫХ ВОЗМУЩЕНИЙ
В ПОГРАНИЧНОМ СЛОЕ**

Л. А. Соколов

(Москва)

В работах [1, 2] развита асимптотическая теория течений со свободным взаимодействием. Простая форма уравнений и краевых условий, общая форма закона подобия дают возможность применять ее к довольно широкому классу течений. Для одних из этих течений получены численные решения, для других приведены постановки задач, выписаны уравнения, краевые условия или приведены соображения о характере течения. В [3] проведено исследование стационарных гиперзвуковых течений вязкого газа, имеющих энтропийные слои. В [4] проведено исследование уравнений, которым подчиняются нестационарные процессы в пограничном слое с самоиндукционным давлением.

В данной работе теория течений со свободным взаимодействием применяется к исследованию нестационарных гиперзвуковых течений вязкого газа, имеющих энтропийные слои.

Рассмотрим обтекание гиперзвуковым потоком вязкого газа пластины конечной длины l , параллельной набегающему потоку ($M_\infty \gg 1$). Индексом ∞ отмечены параметры газа в невозмущенном стационарном состоянии. Предположим, что число Рейнольдса $Re_0 = \rho_0 u_\infty l / \mu_0$ велико. Здесь ρ , u , μ — плотность, тангенциальный компонент скорости и коэффициент динамической вязкости соответственно, индексом 0 отмечены значения параметров, вычисленные при температуре торможения набегающего потока. Будем считать, что $M_\infty Re_0^{-1/2} \ll 1$. Пусть между пограничным слоем и гиперзвуковым потоком имеется энтропийный слой толщиной $\delta_{\text{энт}}$, т. е. область невязкого течения, в которой энтальпию торможения можно принять равной ее величине в гиперзвуковом потоке, а давление торможения и плотность значительно меньше соответствующих величин в гиперзвуковом потоке. Поэтому число $M_{\text{энт}} \sim O(1)$ и плавно меняется от некоторого сверхзвукового значения на внешней границе пограничного слоя до гиперзвукового значения $M_\infty \gg 1$.

Обозначим через t время, x , y — декартовы координаты, u , v — составляющие вектора скорости вдоль этих осей, ρ — плотность, p — давление.

В соответствии с общей теорией [1, 2] и ее применением к режиму слабого гиперзвукового взаимодействия при температурном факторе $O(1)$ [5] и согласно [3] будем считать, что при свободном взаимодействии нестационарного пограничного слоя с внешним потоком образуются четыре области с существенно различными свойствами. В верхней области I эффекты вязкости и теплопроводности малы, вихри в течении отсутствуют. В средних областях II (внешняя часть пограничного слоя) и IV (область энтальпийного слоя) влиянием диссипативных факторов также можно пренебречь, но поле скоростей является завихренным. Область III — это узкие пристеночные зоны вязкого пограничного слоя, в которой малые перепады давления из-за большой величины градиента давления вызывают изменение скорости того же порядка, что и сама скорость. В формировании потока в этой области вязкость играет определяющую роль. Что касается теплопроводности, то ее роль, по крайней мере при температурном факторе $\sim O(1)$, второстепенна, так как при малых скоростях скимаемость газа не проявляется. Внешняя часть пограничного слоя (область II) при $g_w \sim 1$ (g_w — температурный фактор) не оказывает в первом приближении существенного влияния на течение.

Согласно [3], имеем следующие оценки для функций течения:

$$(1) \quad \begin{aligned} \Delta p/p &\sim (M_\infty \varepsilon)^{1/2}, \quad \Delta x/l \sim (M_\infty \varepsilon)^{3/4}, \\ \delta_3/l &\sim \varepsilon (M_\infty \varepsilon)^{1/4}, \quad \varepsilon = \delta_0/l \sim Re_0^{-1/2}, \\ \delta_4/l &\sim \varepsilon / (M_\infty \varepsilon)^{1/4}, \quad u_3/u_\infty \sim (M_\infty \varepsilon)^{1/4}. \end{aligned}$$

Здесь и ниже индексом внизу отмечен номер области, к которой относится соответствующая функция, например δ_3 — толщина области III (δ_0 — толщина невозмущенного пограничного слоя).

Параметр подобия, характеризующий роль энтропийного слоя в процессе взаимодействия, можно записать в виде $N = M_\infty \delta_4 / (M_\infty \epsilon)^{1/4}$. Если положить $t = (l/u_\infty) [t_0 + (M_\infty \epsilon)^{1/2} t_i]$, $i = 1, 2, 3, 4$, то существенно, что все уравнения, которые описывают процессы в различных областях, за исключением области III, не содержат производных по времени. Это означает, что потоки в областях I, IV и II ведут себя инертно, успевая мгновенно подстраиваться под те возмущения, которые возникают в пристеночной области III. Этот результат получен в [4], правда, при некоторой другой нормировке для времени. Вычисленные выше оценки позволяют ввести асимптотические представления для функций течения и, следуя методу [1, 2], сформулировать краевые задачи.

Введем следующие переменные:

$$(2) \quad \begin{aligned} x &= X \frac{\rho_w}{\mu_w a^2} \left(\frac{a \mu_w u_\infty^2 \rho_\infty}{\rho_w M_\infty^2 \rho_w} \right)^{3/4}, \quad \dot{u} = \left(\frac{a \mu_w u_\infty^2 \rho_\infty}{\rho_w M_\infty^2 \rho_w} \right)^{1/4} U, \\ \Delta P &= \rho_w \left(\frac{a \mu_w u_\infty^2 \rho_\infty}{\rho_w M_\infty^2 \rho_w} \right)^{1/2} P, \quad a = \left(\frac{\partial u}{\partial y} \right)_{0w}, \\ \delta_3 &= \frac{1}{a} \left(\frac{a \mu_w u_\infty^2 \rho_\infty}{\rho_w M_\infty^2 \rho_w} \right)^{1/4} \Delta^*, \quad y = \frac{1}{a} \left(\frac{a \mu_w u_\infty^2 \rho_\infty}{M_\infty^2 \rho_\infty \rho_v} \right) Y, \quad \Delta y_4 = \\ &= \frac{l L_{\text{энт}} \rho_w}{\rho_\infty} \left(\frac{a \mu_w u_\infty^2 \rho_\infty}{\rho_w M_\infty^2 \rho_v} \right) \Delta_4, \\ L_{\text{энт}} &= \frac{1}{\gamma l} \int_0^\infty \left(\frac{1}{M_4^2} - 1 \right) dy < 0, \quad i = \frac{\rho_w}{\mu_w a^2} \left(\frac{a \mu_w u_\infty^2 \rho_\infty}{\rho_w M_\infty^2 \rho_w} \right)^{1/2} \tau. \end{aligned}$$

Формулы (2) одновременно с введением асимптотических масштабов обеспечивают переход к безразмерным переменным. Для области III получаем

$$(3) \quad \begin{aligned} \partial U / \partial \tau + U \partial U / \partial X + V \partial U / \partial Y &= -\partial P / \partial X + \partial^2 U / \partial Y^2, \\ \partial U / \partial X + \partial V / \partial Y &= 0, \\ U &= 0, \quad V = 0 \text{ при } Y \rightarrow 0, \\ U &= Y + A(\tau, X) \text{ при } Y \rightarrow \infty \text{ или } X \rightarrow -\infty. \end{aligned}$$

Сращивание с решением для областей I, II, IV дает

$$(4) \quad P = \frac{d}{dX} (\Delta^* - N \Delta_4).$$

Переменную часть толщин вытеснения запишем в виде

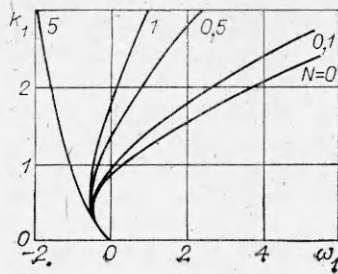
$$(5) \quad \Delta^* = \int_0^\infty \left(\frac{1}{U} - \frac{1}{V^2 f} \right) df = -A(\tau, X), \quad \Delta_4 = P.$$

Выход последней формулы (5) приведен в работе [5]. Для параметра подобия N можно записать формулу

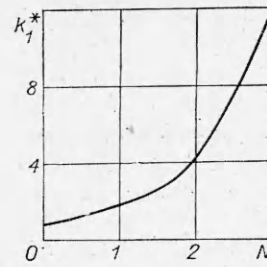
$$(6) \quad N = \frac{al |L_{\text{энт}}| \rho_w}{\rho_\infty} \left(\frac{a \mu_w u_\infty^2 \rho_\infty}{\rho_w M_\infty^2 \rho_w} \right)^{1/2}.$$

Будем искать решение задачи (3), (4) в виде

$$(7) \quad U = Y - \alpha e^{\omega \tau + hX} df/dy, \quad V = \alpha k e^{\omega \tau + hX}, \quad P = \alpha e^{\omega \tau + hX},$$



Фиг. 1



Фиг. 2

где α — амплитуда возмущений. Линеаризация по амплитуде возмущений α приводит задачу (3), (4) к следующему виду:

$$(8) \quad d^3f/dy^3 - (\omega + ky)df/dy + kf + k = 0,$$

$$f(0) = f'(0) = 0, f'(y) \rightarrow (1 + Nk)/k \text{ при } y \rightarrow \infty.$$

Предположим, что постоянные ω и k в (7) комплексны:

$$\omega = \omega_1 + i\omega_2, k = k_1 + ik_2.$$

Чтобы удовлетворить предельным условиям при $X \rightarrow -\infty$, достаточно принять $k_1 > 0$.

Задача (8) является задачей на собственные значения. Для решения задачи (8) продифференцируем первое уравнение (8) и совершим преобразование $z = \omega/k^{2/3} + k^{1/3}y$ независимой переменной.

Решение, удовлетворяющее условию $|df/dz| < \infty$, запишется в виде

$$f = - \left[\frac{d \operatorname{Ai} \left(\frac{\omega}{k^{2/3}} \right)}{dz} \right]^{-1} \int_{\omega/k^{2/3}}^{\infty} \left[\int_{\omega/k^{2/3}}^z \operatorname{Ai}(t) dt \right] dz,$$

где $\operatorname{Ai}(z)$ — функция Эйри комплексного переменного.

Последнее уравнение (8) ведет к дисперсионному соотношению

$$(9) \quad - \frac{d \operatorname{Ai} \left(\frac{\omega}{k^{2/3}} \right)}{dz} (1 + Nk) = k^{4/3} \int_{\omega/k^{2/3}}^{\infty} \operatorname{Ai}(z) dz,$$

связывающему между собой показатели степеней k и ω . Значения этих показателей, удовлетворяющие соотношению (9), являются собственными в решении краевой задачи (8). От задачи, решенной в [4], задача (8) отличается наличием в дисперсионном соотношении (9) множителя $(1 + Nk)$, характеризующего роль энтропийного слоя. Влияние этого множителя на значения показателей степени ω и k показаны на фиг. 1, 2. На фиг. 1 представлена зависимость k_1 от ω_1 при $\omega_2 = k_2 = 0$. Следует заметить, что кривая на фиг. 1 получается прямым пересчетом данных [4], если положить $\omega_1/k_1^{2/3} = \omega_{11}/k_{11}^{2/3}$, $k_1 = k_{11}/(1 + Nk_{11})^{3/4}$, где ω_{11} , k_{11} — данные [4]. Кривая при $N = 0$ соответствует результатам [4]. На фиг. 2 нанесены значения k_1^* при $k_1 = \omega_2 = 0$ и $\omega_1 = 0$ в зависимости от параметра N . При значении $k = k_1^*$ зависимость от времени в линейном решении (8) пропадает, течение газа в пограничном слое стационарно.

При $k > k_1^*$ показатель $\omega_1 > 0$, в этом случае волна бежит против направления основного течения. При $k < k_1^*$ $\omega_1 < 0$. В этом случае волна бежит вниз по потоку. При возрастании Nk_1^* также растет. Последнее находится в согласии с известными результатами [3], когда при возрастании N для обеспечения проникновения возмущений вверх по потоку необходимо все большее нарастание избыточного давления вдоль оси X .

Поступила 26 III 1982

ЛИТЕРАТУРА

1. Нейланд В. Я. К теории отрыва ламинарного пограничного слоя в сверхзвуковом потоке.— Изв. АН СССР. МЖГ, 1969, № 4.
 2. Stewarston K., Williams P. Self-induced separation.— Proc. Roy. Soc., A, 1969, vol. 312, N 1509.
 3. Нейланд В. Я., Соколов Л. А. Влияние энтропийного слоя на отрыв пограничного слоя в гиперзвуковом потоке.— Учен. зап. ЦАГИ, 1978, т. 9, № 3.
 4. Рыжков О. С., Терентьев Е. Д. О нестационарном пограничном слое с самоиндуцированным давлением.— ПММ, 1977, т. 41, вып. 6.
 5. Нейланд В. Я., Соколов Л. А. Влияние энтропийного слоя на обтекание гиперзвуковым потоком аэродинамических органов управления.— Учен. зап. ЦАГИ, 1975, т. 6, № 1.
-

УДК 532.50

АЭРОДИНАМИКА ГИПОЗВУКОВЫХ СКОРОСТЕЙ (О ТЕЧЕНИЯХ С МАЛЫМИ ЧИСЛАМИ МАХА)

P. X. Зейтунян

(Лилль, Франция)

1. Введение. Эта работа является результатом размышлений о понятии слабосжимаемого течения и связанных с ним разнообразных эффектов нестационарности, вязкости и акустики. Рассматриваются только течения совершенного газа с постоянными удельными теплоемкостями при отсутствии силы тяжести. С самого начала не учитываются эффекты вращения, силы Кориолиса и электрических и магнитных полей, так что исходными уравнениями являются классические уравнения Навье — Стокса. Эта работа в том ее виде, в каком она представлена здесь читателю, возможно удивит его тем, что здесь нет детального исследования конкретной задачи, а, скорее, содержит перечень вопросов, которые в настоящее время ставят требование правильного учета слабой сжимаемости при математическом моделировании разнообразных физических явлений. Рассуждения иллюстрируются несколькими простыми задачами, и для некоторых из них даются элементы решений.

Предложен общий термин «гипозвуковой» для характеристики этих слабосжимаемых течений газа. Таким образом, данная работа представляется в большей степени как программа.

Рассмотрим движения совершенного газа с постоянными удельными теплоемкостями c_p и c_v , который может быть вязким и теплопроводным; будем называть эти движения просто течениями. Кинематическое описание рассматриваемого течения осуществляется с использованием переменных Эйлера: времени t и координат x_i ($i = 1, 2, 3$) жидкой частицы течения в ортонормированной декартовой системе координат. Обозначения классические: \mathbf{u} — скорость с компонентами u_i ; p , ρ и T — давление, плотность и температура. Предполагается, что в качестве величин для обезразмеривания выбраны: U_∞ — для скорости, t_0 — для времени, L_0 — для вектора положения, p_∞ , ρ_∞ , T_∞ — для термодинамических элементов. В этом случае в безразмерных переменных и с использованием тех же обозначений для различных величин уравнения, описывающие рассматриваемое течение, принимают классический вид [1]:

$$(1.1) \quad \begin{aligned} \rho \frac{D\mathbf{u}}{Dt} + \frac{1}{\gamma M_\infty^2} \nabla p &= \frac{1}{Re} \left\{ \Delta \mathbf{u} + \frac{1}{3} \nabla (\nabla \cdot \mathbf{u}) \right\}, \\ \frac{D \log \rho}{Dt} + \nabla \cdot \mathbf{u} &= 0, \\ \rho \frac{DT}{Dt} - \frac{\gamma - 1}{\gamma} \frac{Dp}{Dt} &= \frac{1}{Pr} \frac{1}{Re} \Delta T + (\gamma - 1) \frac{M^2}{Re} \Phi, \quad p = \rho T, \end{aligned}$$

где $D/Dt = S\partial/\partial t + \mathbf{u} \cdot \nabla$, $\Delta = \nabla^2$. На уровне уравнений (1.1) предполагаем, что коэффициент объемной вязкости равен нулю (гипотеза Стокса) и что коэффициенты динамической вязкости μ_0 и теплопроводности k_0 постоянны. Через Φ обозначена вязкая объемная диссипация (известная